



УДК 577.152.3

## СЕЛЕКТИВНЫЕ ИНГИБИТОРЫ ПЛАЗМЕПСИНА II *Plasmodium falciparum* НА ОСНОВЕ ПЕПСТАТИНА

© 2008 г. Л. Д. Румш<sup>#</sup>, А. Г. Михайлова, И. В. Михура, И. А. Прудченко, Л. Д. Чикин,  
И. И. Михалева, Е. Н. Калиберда, Н. И. Дергоусова, Э. Э. Мельников, А. А. Формановский

Институт биоорганической химии им. акад. М.М. Шемякина и Ю.А. Овчинникова РАН,  
117997 ГСП, Москва, В-437, ул. Миклухо-Маклая, 16/10

Поступила в редакцию 15.10.2007 г. Принята к печати 20.10.2007 г.

Синтезирован ряд новых ингибиторов плазмепсина II (PlmII) *Plasmodium falciparum*, одного из ключевых факторов выживаемости малярийного паразита. Ингибиторы представляют собой аналоги пепстатаина с различными вариантами замены остатка аланина. Проведено исследование действия ингибиторов на PlmII и катепсин D человека. Обнаружен эффект ингибирования PlmII субстратом, что потребовало модификации метода Хендерсона для определения констант ингибирования. Показано, что два синтезированных ингибитора обладают выраженной избирательностью к PlmII ( $K_i = 5.5$  и  $5$  нМ) по сравнению с катепсином D ( $K_i = 230$  и  $3000$  нМ соответственно).

**Ключевые слова:** малярия, протеиназы, ингибиторы, плазмепсин II, *Plasmodium falciparum*.

### ВВЕДЕНИЕ

Малярия относится к числу заболеваний, разработка методов лечения которых – приоритетное направление в мировой практике. Актуальность проблематики определена социально значимыми факторами и отсутствием эффективных методов терапии.

Заболеваемость малярией, вызываемой *Plasmodium*, по данным ВОЗ, составляет 500 млн человек в год, со смертельным исходом около 2 млн, преимущественно – детей [1]. Быстрая изменчивость паразита и устойчивость к имеющимся лекарственным средствам требует поиска новых антималярийных препаратов с новым механизмом действия. Известны четыре патогенных для человека вида *Plasmodium* – *vivax*, *ovale*, *malariae* и *falciparum*, последний из которых наиболее опасен.

Ключевой фактор выживаемости этиологического агента малярии – присутствие в его клетках аспартильных протеиназ, называемых плазмепсинами (PlmI–PlmIV), участвующих на стадии внутриэритроцитарного развития плазмодия в катаболизме пищевого ресурса паразита – гемоглобина. Эти ферменты (прежде всего – PlmII, КФ 3.4.23.39) рассматриваются в качестве наиболее перспективных мишений в терапии малярии, поскольку их специфическая инактивация ингибиторами приводит к полному нарушению метаболизма паразитарных клеток и их быстрой гибели [2].

Сокращения: Plm – плазмепсин; CatD – катепсин D человека; Pst – пепстатин A.

\* Автор для связи (тел.: (495) 336-28-11; эл. почта: rumsh@enzyme.siobc.ras.ru).

Пищеварительная вакуоль, протеолитический компартмент *P. falciparum* с pH 5.0–5.4, является тем местом, где происходит деградация гемоглобина [3, 4]. Плазмепсины (PlmI и PlmII) распознают гемоглобин, гидролизуя первоначально единственную пептидную связь между Phe33 и Leu34 [5], которая находится в области петли  $\alpha$ -цепи гемоглобина. Аминокислотная последовательность этой петли высоко консервативна во всех гемоглобинах позвоночных: -EALERMF<sup>33</sup>-L<sup>34</sup>SFPTTK-. Предполагается, что упорядоченный распад гемоглобина инициируется аспартатными протеиназами (PlmI и PlmII), последующий гидролиз протекает под действием других ферментов пищеварительной вакуоли *P. falciparum*, например, цистеиновой протеиназы фальциптина [5–7].

Аналогично другим аспартатным протеиназам, PlmI и PlmII синтезируются в виде неактивных предшественников. Однако прообласти протеиназ плазмодия намного длиннее, чем у других зиомогенов: 123 и 124 а.о. соответственно [8]. Отщепление пропептида *in vitro* происходит в результате аутопроцессинга предшественников при подкислении до pH 4.5–5.0 с образованием зрелых форм активных ферментов с мол. массой 37 кДа, идентичных по размеру протеиназам, выделенным непосредственно из *P. falciparum* [9]. Показано, что активность рекомбинантной и природной форм PlmII одинакова [4].

Специфичность рекомбинантного PlmII изучали с помощью ряда синтетических хромогенных и флуорогенных субстратов [10–14]. Эти субстраты были выбраны на основании вышеприведенной аминокислотной последовательности, окружающей первичный сайт гидролиза  $\alpha$ -цепи гемоглоби-

**Таблица 1.** Константы гидролиза субстрата (CS) плазмепсином II и катепсином D человека в 0.1 М Na-формиатном буфере при 37°C

Фермент	pH	[S], мкМ	$K_m$ , мкМ	$k_{cat}$ , мин <sup>-1</sup>	$k_{cat}/K_m$ , мкМ <sup>-1</sup> мин <sup>-1</sup>	$K'_S$ , мкМ
PlmII	4.4	3–10	9.53	466	48.90	—
		20–90	—	466	—	5.05
CatD	3.5	10–100	91.00	450	4.94	—

на. Хромогенные субстраты были получены путем замены остатка Leu в P1'-положении на остаток *n*-нитрофенилаланина (Phe(NO<sub>2</sub>)). Легко окисляемый остаток Met в P2-положении заменяли на Thr [10], Ile, Val или Nle [13]. В этой работе мы использовали хромогенный субстрат H-Leu-Glu-Arg-Ile-Phe-Phe(NO<sub>2</sub>)-Ser-Phe-OH (CS) [11].

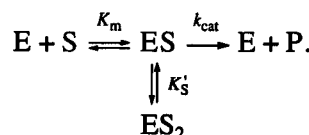
Препарат про-PlmII высокой степени чистоты получен препаративно путем экспрессии в *E. coli* рекомбинантного гена, кодирующего последние 48 а.о. пропептида и весь зрелый фермент [10]. Определена трехмерная структура PlmII, имеющая типичную топологию аспартатных протеиназ эукариот [12].

При использовании ингибиторов плазмепсинов очень важно найти соединения избирательного действия для предотвращения возможного подавления активности эндогенных аспартатных протеиназ, особенно ренина и катепсина D (КФ 3.4.23.5). В настоящей работе получены высокоселективные ингибиторы PlmII, являющиеся производными пептидатина.

## РЕЗУЛЬТАТЫ И ОБСУЖДЕНИЕ

Кинетические параметры гидролиза субстрата CS плазмепсином II и катепсином D человека (CatD) приведены в табл. 1. Определенные нами значения кинетических констант гидролиза субстрата CS в

случае PlmII (табл. 1) достаточно близки к литературным данным ( $k_{cat}$  780 мин<sup>-1</sup>;  $K_m$  10 мкМ,  $k_{cat}/K_m$  78 мкМ<sup>-1</sup> мин<sup>-1</sup> [11]). Однако мы обнаружили, что в случае высоких концентраций субстрата кинетика его гидролиза отклоняется от классической зависимости Михаэлиса-Ментен (рис. 1). Такой вид кинетической зависимости соответствует ингибированию субстратом:



При этом уравнение начальной скорости гидролиза принимает вид:

$$v_0 = k_{cat}[E][S]/(K_m + [S] + [S]^2/K'_S). \quad (1)$$

Найденная нами величина константы ингибирования субстратом  $K'_S$  (табл. 1) оказалась даже меньше величины константы Михаэлиса, что свидетельствует о необычайно сильном ингибировании PlmII октапептидом CS при  $[S] > K_m$ . В случае катепсина D ингибирование субстратом не было зафиксировано во всем исследованном интервале концентраций (10–100 мкМ) (табл. 1).

За основу структуры синтезированных нами ингибиторов был взят известный ингибитор аспартатных протеиназ пептидин – Iva-Val-Val-Sta-Ala-Sta, где Iva – остаток изовалериановой кислоты, Sta – остаток статина –HN-CH(CH<sub>2</sub>CH(CH<sub>3</sub>)<sub>2</sub>)CH(OH)CH<sub>2</sub>COOH [8]. Мы синтезировали пять модифицированных пептидных ингибиторов (I-1)–(I-5) общего строения Y-Val-Val-Sta-X-Sta-OH:

(I-1): X – –HN-CH(CH<sub>2</sub>-O-(CH<sub>2</sub>)<sub>2</sub>-CH<sub>2</sub>-OH)-CO-; Y – Iva;

(I-2): X – –HN-CH((CH<sub>2</sub>)<sub>3</sub>-CH<sub>2</sub>-OH)-CO-; Y – Iva;

(I-3): X – –HN-CH(CH<sub>2</sub>-O-(CH<sub>2</sub>)<sub>2</sub>-CH<sub>2</sub>-OH)-CO-; Y – (CH<sub>3</sub>)<sub>2</sub>CH-CH(CH<sub>2</sub>-CH<sub>2</sub>OH)-CO-;

(I-4): X – Ala; Y – (CH<sub>3</sub>)<sub>2</sub>CH-CH(OH)-CO-;

(I-5): X – –HN-CH(CH<sub>2</sub>-O-(CH<sub>2</sub>)<sub>2</sub>-CH<sub>2</sub>-OH)-CO-; Y – (CH<sub>3</sub>)<sub>2</sub>CH-CH(OH)-CO-.

Фрагменты X и Y для соединений (I-1)–(I-5) получали с необходимым для последующего пептидного синтеза набором защитных групп. (S)-2-трем-

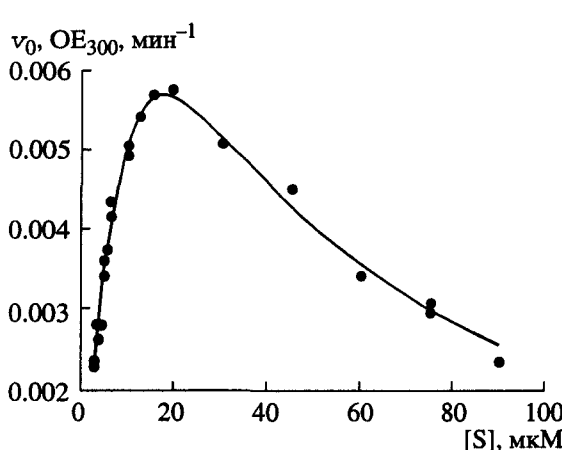


Рис. 1. Ингибирование плазмепсина II (17.6 нМ) субстратом CS; [S] 3–90 мкМ, 0.1 М Na-формиатный буфер pH 4.4; 37°C.

Бутилоксикарбонил-6-бензилоксигексановую кислоту (для фрагмента X в соединении (I-2)) получали дезаминированием  $N^{\alpha}$ -Z-L-лизина нитропруссидом натрия, последовательными реакциями замены Z-защитной группы на Вос-группу и постановки бензильной группы на свободную  $\omega$ -ОН-группу, общий выход целевого соединения составил 52%. Для получения 2-*трем*-бутилоксикарбониламино-7-бензилокси-4-гептановой кислоты (для фрагмента X в соединениях (I-1), (I-3), (I-5)) N-Вос-L-серин превращали в метиловый эфир обработкой диазометаном, алкилировали полученный эфир 3-бензилоксипропилбромидом и щелочным гидролизом выделяли свободную кислоту, общий выход составил 41%. 4-Бензилокси-2-изопропилбутановую кислоту (для фрагмента Y в соединении (I-3)) синтезировали алкилированием диэтилового эфира малоновой кислоты изопропилбромидом в DMF с последующим алкилированием 2-бензилоксиэтилбромидом, омылением и декарбоксилированием диэтилового эфира 2-бензилокси-2-изопропилмалоновой кислоты, что позволило получить исключительную кислоту с общим выходом 47%.

С помощью субстрата CS исследовано дозозависимое ингибиование PlmII и CatD соединениями (I-1)–(I-5), а также пепстатином A (Pst). Полученные кривые титрования во всех случаях соответствуют типу ингибитора с высоким сродством (рис. 2), что характерно для ингибиования аспартатных протеиназ пепстатином [8]. Для определения величин  $K_i$  обычно используется уравнение Хендерсона [15]:

$$[\Pi]/(1 - v_i/v_0) = [E] + (K_i \times A)v_0/v_i, \quad (2)$$

где  $v_0$  – начальная скорость гидролиза субстрата ферментом с начальной концентрацией [E] в отсутствие ингибитора, а  $v_i$  – та же скорость в присутствии ингибитора с начальной концентрацией  $[\Pi]$ . Коэффициент  $A$  зависит от типа ингибиования:  $A = 1$  в случае неконкурентного ингибиования; для конкурентных ингибиторов, к которым относится Pst,  $A = ([S] + K_m)/K_m$  [15].

С помощью уравнения Хендерсона (2) для прочно связывающихся ингибиторов (линейная зависимость величины  $[\Pi]/(1 - v_i/v_0)$  от  $v_0/v_i$ ) определяют начальную концентрацию фермента (по пересече-

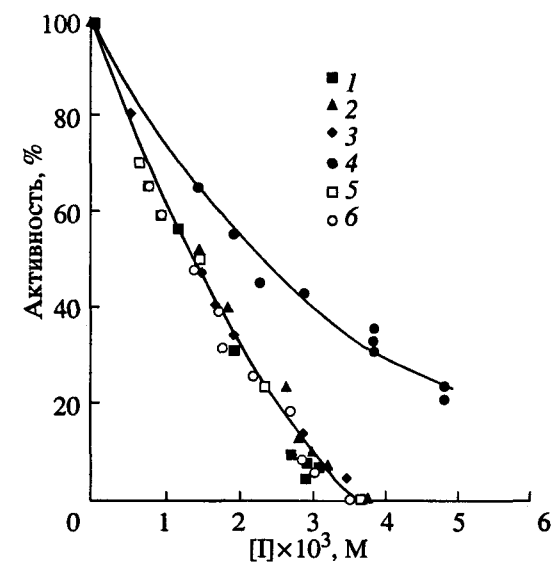


Рис. 2. Ингибиование плазмепсина II (30 нМ) при гидролизе субстрата CS (60 мкМ). Ингибиторы: 1 – Pst; 2 – (I-1); 3 – (I-2); 4 – (I-3); 5 – (I-4); 6 – (I-5); 0.1 М Na-формиатный буфер pH 4.4; 37°C.

нию с осью ординат); величину  $K_i$  вычисляют по тангенсу угла наклона прямой. Так как тангенсы угла наклона для всех исследованных ингибиторов и ферментов возрастают при увеличении концентрации субстрата (как показано в табл. 2 на примере ингибитора (I-3)), эти ингибиторы, так же как пепстатин, относятся к конкурентным. Согласно уравнению Хендерсона [15], величина поправки  $A = ([S] + K_m)/K_m$ ; для повышения точности определения мы использовали высокие концентрации субстрата CS. В случае катепсина D ( $K_m = 91$  мкМ) величина этого повышающего фактора пересчета, значение которого устанавливается экспериментально, составляет 2.65 при  $[CS] = 150$  мкМ или 1.33 при  $[CS] = 30$  мкМ; в случае плазмепсина II ( $[CS] = 60$  мкМ,  $K_m = 9.53$  мкМ)  $A = 7.29$ . В табл. 3 приведены полученные экспериментально значения  $K_i \times A$  (2 и 5 столбцы для PlmII и CatD соответственно), а также значения рассчитанных согласно уравнению Хендерсона [15] констант ингибиования (3 и 6 столбцы). Определенная нами величина констан-

Таблица 2. Ингибиование плазмепсина II (12 нМ) соединением (I-3) при разных концентрациях субстрата CS (0.1 М Na-формиатный буфер pH 4.4; 37°C)

[CS], мкМ	$K_i \times A$ , нМ (тангенс угла наклона)	$A = ([S] + K_m)/K_m$ [15]		$A = (K_m + [S] + [S]^2/K_m)/K_m$	
		$A$	$K_i$ , нМ	$A$	$K_i$ , нМ
1	2	3	4	5	6
60	12.9	7.29	1.77	82.1	0.157
30	6.70	4.35	1.54	22.85	0.293
15	1.20	2.57	0.468	7.23	0.166

**Таблица 3.** Ингибиование плазмепсина II (pH 4.4) и катепсина D человека (pH 3.5) при гидролизе субстрата CS; [S] 60 мкМ, 0.1 М Na-формиатный буфер, 37°C

Ингибитор	PlmII			CatD	
	$K_i \times A$ , нМ (тангенс угла наклона)	$K_i$ , нМ		$K_i \times A$ , нМ (тангенс угла наклона)	$K_i$ , нМ*
		$A = 7.29^*$	$A = 82.1^{**}$		
1	2	3	4	5	6
Pst	0.226	31.10	2.75	5.01***	3.77***
(I-1)	0.178	24.4	2.15	5.32***	4.00***
(I-2)	0.291	39.9	3.54	5.75***	4.32***
(I-3)	12.9	1770	157	3990***	3000***
(I-4)	0.451	61.9	5.49	623****	235****
(I-5)	0.413	56.6	5.03	8000****	3020****

\* По методу Хендersona [15].

\*\* По нашему методу.

\*\*\*  $[CS] = 30$  мкМ;  $A = 1.33$ .

\*\*\*\*  $[CS] = 150$  мкМ;  $A = 2.65$ .

ты ингибиования CatD пепстином (табл. 3) практически совпадает с литературными данными (3.8 нМ [16]). Однако вычисленная величина  $K_i$  для пепсттина и плазмепсина (31 нМ; табл. 3) на порядок превышает известную из литературы величину той же константы (3–5 нМ) [8]. Обнаруженный нами эффект сильного субстратного ингибиования PlmII субстратом CS (табл. 1, рис. 1) позволил предположить, что уравнение Хендersona в случае PlmII следует модифицировать для расчета величин  $K_i$  в экспериментах с высокой концентрацией субстрата (60 мкМ). Действительно, субстратное ингибиование отсутствует в случае катепсина D; вычисленная по уравнению Хендersona величина константы ингибиования пепсттином не отличается от литературных данных.

Еще одним аргументом в пользу неприменимости классического метода Хендersona для плазмепсина является зависимость определяемых таким образом констант ингибиования от концентрации субстрата (табл. 2, столбец 4).

Мы рассмотрели модификацию уравнения Хендersona для специального случая сильного субстратного ингибиования. Уравнение для вычисления начальной скорости гидролиза в присутствии конкурентного ингибитора выглядит как

$$v_i = k_{cat}[E][S]/((K_m + [S]) + K_m[I]/K_i). \quad (3)$$

Уравнение (3) приводит к обычному уравнению Хендersona (2), где  $A = ([S] + K_m)/K_m$ ; таким образом, в обычном случае прочно связывающего конкурентного ингибитора тангенс угла наклона графика Хендersona (2) в наших экспериментальных условиях составляет  $1.33 - 2.65 \times K_i$  в случае катепсина D и  $7.29 \times K_i$  в случае плазмепсина II.

Однако с учетом ингибиования субстратом (уравнение (1)), выражение для начальной скорости реакции гидролиза в присутствии ингибитора становится более комплексным:

$$v_i = k_{cat}[E][S]/\{ (K_m + [S] + [S]^2/K_s') + K_m[I]/K_i \}. \quad (4)$$

Общий вид уравнения Хендersona (2) остается тем же, однако повышающий фактор  $A$  теперь выглядит так

$$A = (K_m + [S] + [S]^2/K_s')/K_m. \quad (5)$$

Очевидно, что этот фактор резко возрастает при увеличении концентрации субстрата. Действительно, тангенс угла наклона графика Хендersona (2) в случае плазмепсина II (рассчитан с использованием кинетических параметров табл. 1, концентрация субстрата 60 мкМ) составляет  $82.1 \times K_i$  вместо  $7.29 \times K_i$  при обычном вычислении:

$$A = (9.53 + 60 + 3600/5.05) \text{ мкМ}/9.53 \text{ мкМ} = 82.1.$$

Очевидно, что в этом случае при использовании высоких концентраций субстрата и ингибитора достоверность определения величин  $K_i$  значительно повышается. Истинные значения констант ингибиования PlmII для соединений (I-1)–(I-5), а также пепсттина с использованием нашей модификации уравнения Хендersona приведены в табл. 2 (столбец 6) и табл. 3 (столбец 4). Величина константы ингибиования PlmII пепсттином при этом совпадает с литературными данными [8].

Соединение (I-3) – наименее сильный ингибитор плазмепсина из всех исследованных соединений: величина  $K_i$  для него на два порядка выше, чем для пепсттина и синтезированных нами соединений (I-1), (I-2), (I-4) и (I-5) (табл. 3). Для этих ингибиторов величины  $K_i$  того же порядка, как для пепстти-

на ( $\approx$ пМ). Особенno следует заметить, что ингиби-  
рование катепсина D человека соединением (I-4) на  
два порядка, а (I-5) – на три порядка ниже по сравне-  
нию с плазмепсином II. Селективность ингибиторов  
ферментов-мишеней, помимо их высокой ингиби-  
рующей способности, оказывается одним из важ-  
нейших факторов, которые следует учитывать при  
создании лекарственных препаратов. Очевидно,  
что исследованные нами ингибиторы плазмепсина  
II (I-4) и, особенно (I-5), могут представлять значи-  
тельный интерес для фармакологии.

## ЭКСПЕРИМЕНТАЛЬНАЯ ЧАСТЬ

**Синтез ингибиторов и субстрата.** ТСХ-анализ проводили на пластинках Silufol (Chemapol, Чехия); хроматографическую очистку – на колонках, заполненных  $\text{SiO}_2$  (Merck G-60, Германия), элюент –  $\text{CHCl}_3\text{-MeOH}$ , 7 : 1. Спектры ЯМР  $^1\text{H}$  ( $\delta$ , м. д.,  $J$ , Гц) регистрировали на спектрометре Unity Inova (400 МГц) в  $\text{CDCl}_3$ , внутренний стандарт – остаточные протоны растворителя. Температуры плавления определяли на микростолике Boetius.

Фрагмент Y в (I-4) и (I-5), 2-гидрокси-3-метилбутановая кислота, фирмы “Aldrich”, США.

**(2S)-6-Бензилокси-2-трет-бутилоксикарбонил-аминогексановая кислота** (для фрагмента X в (I-2)). К раствору 5.3 г (18.86 ммоль) (2S)-2-бензилокси-карбонил-амино-6-гидроксигексановой кислоты (получена с выходом 80% дезаминированием  $N^{\alpha}\text{-Z-L}$ -лизина нитропруссидом натрия [17]) в 100 мл MeOH прибавляли 10 мл воды, 0.5 г 10% Pd/C и гидрировали в токе водорода до исчезновения исходного соединения. Катализатор отделяли, промывали на фильтре водой, объединенные фильтраты упаривали досуха, добавляли 10 мл воды и 110 мл EtOH. Выпавшие кристаллы отделяли, промывали abs. EtOH и сушили в вакууме над щелочью. Получили 2.63 г (95%) (2S)-2-амино-6-гидроксигексановой кислоты. Т. пл. 251°C;  $[\alpha]_D^{20} + 23^\circ$  [18]. Спектр  $^1\text{H}$ -ЯМР ( $\text{D}_2\text{O}$ ): 1.45 (2 H, м, H4), 1.62 (2 H, м, H5), 1.91 (2 H, м, H3), 3.64 (2 H, т,  $J$  7.5, H6), 3.78 (H, т,  $J$  6.8, H2).

К раствору 2.50 г (17 ммоль) полученной (2S)-2-амино-6-гидроксигексановой кислоты в 30 мл смеси  $\text{THF-H}_2\text{O}$  (1 : 1) прибавляли 2.5 мл (18 ммоль)  $\text{Et}_3\text{N}$  и 4.44 г (20.5 ммоль) ди(трет-бутил)пирокарбоната. Реакционную смесь перемешивали 6 ч, разбавляли 50 мл воды и упаривали THF в вакууме. Водный раствор экстрагировали гексаном ( $2 \times 10$  мл), водный слой подкисляли до pH 3 и экстрагировали EtOAc ( $5 \times 20$  мл). Объединенные экстракты сушили над  $\text{Na}_2\text{SO}_4$ , растворитель упаривали, остаток очищали хроматографически (элюент – EtOAc). Получили 3.70 г (88%) (2S)-2-трет-бутилоксикарбониламино-6-гидроксигексановой кислоты. Т. пл. 112°C,  $[\alpha]_D^{20} - 6.36^\circ$  [19]. Спектр  $^1\text{H}$ -ЯМР: 1.43 (2 H,

м, H4), 1.50 (9 H, с,  $\text{CH}_3$ ), 1.68 (2 H, м, H5), 1.95 (2 H, м, H3), 3.66 (2 H, т,  $J$  7.5, H6), 3.80 (H, ш.с, OH), 4.48 (H, т,  $J$  6.9, H2), 5.20 (H, ш.с, NH), 11.80 (H, ш.с, COOH).

Раствор 2.47 г (10 ммоль) (2S)-2-трет-бутилоксикарбониламино-6-гидроксигексановой кислоты в 30 мл сухого  $\text{Et}_2\text{O}$  обрабатывали 20 мл раствора  $\text{CH}_3\text{N}_2$  в  $\text{Et}_2\text{O}$ . По окончании реакции  $\text{Et}_2\text{O}$  упаривали в вакууме, остаток растворяли в 20 мл сухого DMF, охлаждали до 0°C и прибавляли 0.5 г 55%-ной суспензии NaN в масле (11.4 ммоль NaN). После прекращения выделения  $\text{H}_2$  прибавляли 1.71 г (10 ммоль) бензилбромида. Через сутки реакционную смесь выпивали в 100 мл воды, доводили pH до 7 и выпавшее масло экстрагировали EtOAc ( $5 \times 25$  мл). Экстракти промывали, растворитель упаривали, к остатку в 60 мл MeOH добавляли NaOH. Свободную кислоту получали обработкой соли ионообменной смолой Дауэкс 50 × 8 в  $\text{H}^+$ -форме, очищали хроматографически. Получили 2.60 г (77%) целевой (2S)-6-бензилокси-2-трет-бутилоксикарбонил-аминогексановой кислоты в виде бесцветного масла. Спектр  $^1\text{H}$ -ЯМР: 1.41 (2 H, м, H4), 1.49 (9 H, с,  $\text{CH}_3$ ), 1.66 (2 H, м, H5), 1.95 (2 H, м, H3), 3.30 (2 H, т,  $J$  7.5, H6), 4.50 (H, т,  $J$  7.0, H2), 4.58 (2 H, с,  $\text{CH}_2\text{Ph}$ ), 5.18 (H, ш.с, NH), 7.10–7.40 (5 H, м, Ph), 11.40 (H, с, COOH). Найдено, %: C 63.91; H 8.00; N 4.06.  $\text{C}_{18}\text{H}_{27}\text{NO}_5$ . Вычислено, %: C 64.07; H 8.07; N 4.15.

**2-трет-Бутилоксикарбониламино-7-бензилокси-4-оксагептановая кислота** (для фрагмента X в соединениях (I-1), (I-3), (I-5)). Раствор 4.1 г (20 ммоль) N-Вос-L-серина в 20 мл MeOH обрабатывали  $\text{CH}_3\text{N}_2$  в  $\text{Et}_2\text{O}$ . По окончании реакции добавляли 0.5 мл  $\text{CH}_3\text{COOH}$ , растворители упаривали, остаток очищали флеш-хроматографией ( $\text{SiO}_2$ , Merck G-60, элюент –  $\text{CHCl}_3\text{-EtOAc}$ , 1 : 1). Получили 3.94 г (90%) метилового эфира N-Вос-L-серина в виде бесцветного масла. Его растворяли в 30 мл сухого DMF, охлаждали до 0°C и прибавляли 0.87 г 55%-ной суспензии NaN в масле (20 ммоль NaN), перемешивали 1 ч и по каплям прибавляли 4.85 г  $\text{PhCH}_2\text{O}(\text{CH}_2)_3\text{Br}$ . Реакционную смесь перемешивали 2 ч при 0°C и оставили на ночь при комн. температуре. Затем выпадали свободную кислоту как указано выше. После хроматографической очистки получали 3.18 г (45%) 2-трет-бутилоксикарбониламино-7-бензилокси-4-оксагептановой кислоты в виде бесцветного масла. Спектр  $^1\text{H}$ -ЯМР: 1.49 (9 H, с,  $\text{CH}_3$ ), 1.83 (2 H, м, H6), 3.45 (2 H, м, H3), 3.65 (4 H, м, H5, H7), 4.38 (H, м, H2), 4.50 (2 H, с,  $\text{CH}_2\text{Ph}$ ), 5.80 (H, ш.с, NH), 7.18–7.23 (5 H, м, Ph), 11.20 (H, с, COOH). Найдено, %: C 61.00; H 7.74; N 4.01.  $\text{C}_{18}\text{H}_{27}\text{NO}_6$ . Вычислено, %: C 61.17; H 7.70; N 3.96.

**4-Бензилокси-2-изопропилбутановая кислота** (для фрагмента Y в соединении (I-3)). К перемешиваемой суспензии 1.1 г 55% NaN в 30 мл сухого DMF при комнатной температуре прибавляли 5.05 г (25 ммоль) изопропилмалонового эфира [20] и пе-

ремешивали 1 ч, после чего прибавляли 5.38 г (25 ммоль) 2-бензилоксиэтилбромида [21] и перемешивали реакционную смесь 6 ч при 75°C, а затем 12 ч при 50°C. Охлажденную реакционную смесь выливали в 150 мл воды, доводили pH до 7 и экстрагировали EtOAc (4 × 40 мл), объединенные экстракты промывали и сушили над Na<sub>2</sub>SO<sub>4</sub>. После упаривания растворителя получили 6.30 г (75%) **диэтилового эфира 2-бензилоксиэтил(изопропил)малоновой кислоты**. Спектр <sup>1</sup>H-ЯМР: 0.95 (6 H, д, J 6.8, CHCH<sub>3</sub>), 1.18 (6 H, т, J 6.5, CH<sub>2</sub>CH<sub>3</sub>), 2.19 (2 H, т, J 6.5, OCH<sub>2</sub>CH<sub>2</sub>), 2.30 (H, м, CH), 3.50 (2 H, т, J 6.0, OCH<sub>2</sub>CH<sub>2</sub>), 4.10 (4 H, кв, J 6.5, CH<sub>2</sub>CH<sub>3</sub>), 4.41 (2 H, с, CH<sub>2</sub>Ph), 7.18–7.25 (5 H, м, Ph).

К раствору 5.38 г (16 ммоль) диэтилового эфира 2-бензилоксиэтил(изопропил)малоновой кислоты в 100 мл EtOH прибавляли 20 мл 2 M NaOH и кипятили 8 ч. По охлаждении смесь подкисляли до pH 3 и упаривали растворитель досуха. **2-Бензилоксиэтил(изопропил)малоновую кислоту** извлекали из остатка эфиром, эфир упаривали, после чего ее декарбоксилировали нагреванием 1 ч при 180°C, продукт перегоняли в вакууме. Получили 2.64 г (70%) целевой **4-бензилокси-2-изопропилбутановой кислоты** в виде бесцветного масла, т. кип. 116–120°C/0.1 мм рт. ст. Спектр <sup>1</sup>H-ЯМР: 0.92 (6 H, д, J 6.8, CH<sub>3</sub>), 1.90 (2 H, м, CHCH<sub>2</sub>), 2.16 (H, м, CHCO-OH), 2.32 (H, м, CH(CH<sub>3</sub>)<sub>2</sub>), 3.43 (2 H, м, OCH<sub>2</sub>CH<sub>2</sub>), 4.44 (2 H, с, CH<sub>2</sub>Ph), 7.18–7.25 (5 H, м, Ph), 10.0 (H, с, COOH). Найдено, %: C 71.00; H 8.50. C<sub>14</sub>H<sub>20</sub>O<sub>3</sub>. Вычислено, %: C 71.16; H 8.53.

**Синтез пептидных ингибиторов (I-1)–(I-5) и субстрата H-Leu-Glu-Arg-Phe-Phe(NO<sub>2</sub>)-Ser-Phe-OH (CS) осуществлен твердофазным методом с использованием Вос-стратегии на модернизированном синтезаторе Beckman 990 (США). В работе использовали реагенты и производные аминокислот фирм "Reanal" (Венгрия), "PRF" (Япония), "Advanced Chemtech" и "Aldrich" (США) и "Fluka" (Швейцария). Исходный полимерный носитель для синтеза пептидов получали путем присоединения Вос-Sta-OH (Neosystem, Франция) к хлорметилированному полимеру (Advanced Chem. Tech., США) по стандартной методике через цезиевую соль [22]. Нагрузка аминокислоты на полимере составляла 0.25 ммоль/г. Для проведения реакции конденсации использовали DCC в присутствии HOBu (1 : 1) с 10-минутной преактивацией при 0°C. Реагенты брали в 3.5-кратном избытке. Временную Вос-группу удаляли обработкой 30% раствором TFA в хлороформе. Деблокирование и отщепление пептидов со смолы осуществляли жидким HF в присутствии *n*-крезола (10/1) при 0°C в течение 1 ч. После окончания реакции HF удаляли в вакууме. Пептид осаждали из реакционной смеси добавлением 15 мл диэтилового эфира. Смолу и деблокированный пептид отфильтровывали, промывали диэтиловым эфиром (5 × 10 мл), сушили на фильтре. Пептиды экстрагировали, в зависимости от их гидро-**

фобности, 50–95%-ным раствором CH<sub>3</sub>COOH, экстракти замораживали и лиофилизовали.

Гель-фильтрацию осуществляли на колонке размером 800 × 25 мм, заполненной сефадексом LH-20 (Pharmacia, Швеция) в метаноле. Скорость потока 0.8 мл/мин; детекция при 226 нм (Multirac 2158, LKB, Швеция). Препаративную обращенно-фазовую хроматографию высокого давления (ВЭЖХ) проводили на приборе System Gold (Beckman, Швеция), колонка Ultrasphere ODS (7 мкм, 25 × 2.0 см), градиент 10–90% MeCN в 0.23 M (NH<sub>4</sub>)<sub>2</sub>NaPO<sub>4</sub>, pH 6.1. Скорость потока 6 мл/мин; детекция при 220 нм. Фракцию, содержащую целевой продукт, упаривали и проводили повторную гель-фильтрацию на колонке с сефадексом LH-20 в 80% метаноле.

Аналитическую ВЭЖХ осуществляли в том же градиентном режиме на приборе System Gold (Beckman, США) в условиях: колонка Ultrasphere ODS (5 мкм, 250 × 2.0 мм). Скорость потока 0.25 мл/мин; детекция при 220 нм.

Чистота полученных пептидов составляла 95%, по данным аналитической ВЭЖХ. Пептиды охарактеризованы корректными данными масс-спектроскопии на приборе TOF-MALDI Vision 2000 (США). Определенные значения молекулярных масс (Да) составляли 760 (I-1), 744 (I-2), 804 (I-3), 702 (I-4), 776 (I-5) для ингибиторов и 1103 для субстрата.

**Экспрессия и выделение PlmII.** Ген целевого белка, кодирующий укороченную форму про-PlmII (фрагмент 76–453, по нумерации полноразмерной формы зиомогена), был клонирован ранее в векторе pET-23a(+) (Invitrogen, США). Клетки штамма BL21(DE3) трансформировали, выращивали при 37°C в течение ночи в присутствии 100 мг/мл ампциллина и далее пересевали в предварительно аэрированную среду, достигая 100-кратного разбавления начальной культуры. Культтуру индуцировали при плотности суспензии 0.5 OE<sub>600</sub> внесением 1 мМ изопропил-β-D-тиогалактопиранозида и инкубировали в режиме интенсивного перемешивания в течение 3 ч без изменения температурных условий. Биомассу клеток (10 г из 5 л культуры) отделяли центрифугированием и использовали для выделения белка.

Клеточную пасту (5 г) ресуспенсировали в 20 мл буфера А (50 мМ Трис-HCl, pH 8.0; 0.1 M NaCl; 2 мМ EDTA), обрабатывали ультразвуком, разбавляли в 6 раз охлажденным буфером А и центрифугировали 1 ч при 100000 g. Нерастворимую фракцию лизата, содержащую целевой белок, ресуспенсировали в 60 мл буфера Б (50 мМ Трис-HCl, pH 8.0; 1% Тритон X-100), суспензию перемешивали 30 мин и центрифугировали (100000 g, 20 мин). Супернатант удаляли и проводили двукратную промывку осадка буфером Б (120 мл), не содержащим детергент, с использованием центрифугирования.

Тельца включения растворяли в 20 мл денатурирующего буфера (6 M мочевина; 0.5 M Трис-HCl, pH

8.0; 1 мМ EDTA; 50 мМ  $\beta$ -меркаптоэтанол), перемешивали в течение ночи, суспензию центрифугировали (100000  $g$ , 30 мин). Далее супернатант разбавляли в 50 раз буфером С (50 мМ Трис-HCl, pH 8.5) путем выкапывания через перистальтический насос при скорости 0.5 мл/мин. Рефолдинг белка проводили в течение 16 ч (25°C) при медленном перемешивании раствора. Раствор фермента после рефолдинга (1 л) фильтровали через мембрану с размером пор 0.45 мкм, концентрировали в 20 раз на целлюлозной мемbrane с удерживанием белков, превышающих по мол. массе 10 кДа, и использовали для проведения анионообменной хроматографии.

Раствор белка наносили со скоростью 1 мл/мин на 10 мл Q-сепарозы, уравновешенной буфером С (pH 8.0). Колонку промывали 10 объемами того же буфера и элюировали линейным градиентом концентрации NaCl (0–1 М) в буфере С (pH 8.0) (10 объемов колонки) без изменения скорости потока. Собирали фракции по 2 мл и анализировали с помощью электрофореза. Фракции, содержащие целевой белок, объединяли и концентрировали до 2 мл с использованием центрифужных концентраторов Amicon Ultra-15.

Гель-фильтрацию проводили на колонке Superdex 200 16/60 (Amersham Biosciences) в 20 мМ Трис-HCl-буфере (pH 8.0), содержащем 0.2 М NaCl, при скорости потока 0.5 мл/мин. Фракции целевого белка объединяли и использовали в дальнейшем исследовании. Средний выход фермента составил 20 мг на 10 г клеточной биомассы. Чистота конечного препарата была не менее 95%.

**Кинетические измерения.** Скорость гидролиза хромогенного субстрата CS под воздействием PlmII регистрировали с помощью спектрофотометра Gilford 2400-2 (США) при 37°C по уменьшению оптического поглощения при 300 нм в 0.1 М Na-формиатном буфере pH 4.4, содержащем 3% DMSO.  $\Delta_{300}$  1700 М<sup>-1</sup> см<sup>-1</sup>. Активный PlmII получали инкубированием 5-кратно разбавленного 0.1 М Na-формиатным буфером pH 4.4 запасного раствора про-PlmII в течение 30 мин при 37°C.

Концентрацию фермента определяли с помощью титрования активного центра пепстатином А (Sigma, США).

Для определения активности катепсина D человека (Sigma, США) использовали тот же субстрат при pH 3.5.

**Ингибиование PlmII и CatD соединениями (I-1)–(I-5)** изучали при 37°C в 0.1 М Na-формиатном буфере при pH 4.4 для первого и 3.5 для второго фермента. Пепстатин был использован в качестве ингибитора в тех же условиях для сравнения.

Значения кинетических параметров гидролиза субстрата ( $k_{cat}$  и  $K_m$ ) в случае CatD были получены с помощью нелинейной регрессии непосредственно по уравнению Михаэлиса-Ментен; в случае PlmII значения этих параметров, а также константы инги-

бирования субстратом ( $K'_S$ ), вычислены по уравнению (1). Константы ингибиования определяли по уравнению Хендersona (2) с поправкой на конкурентный характер ингибиования в случае CatD и по модифицированному нами уравнению Хендersona с поправкой на ингибиование субстратом (5). Стандартная ошибка во всех случаях не превышала 20%.

## БЛАГОДАРНОСТИ

Авторы выражают благодарность докторам Р. Уэллеру (Richard Weller), Р. Орнштейну (Richard Ornstein), Д. Моррису (James Morris) и Е. Райниной (Evgenia Rainina) из Национальной Тихоокеанской Северо-Западной лаборатории (Pacific Northwest National Laboratory) за сотрудничество, организацию и активную поддержку проекта, а также профессору Д. Гольдбергу (D. Goldberg), Медицинский институт Говарда Хьюза (Howard Hughes Medical Institute) – за предоставление экспрессионной плазмиды для получения плазмепсина II. Работа поддержана контрактом 312665-A-G2 Департамента энергетики США (U.S. Department of Energy) и Государственным контрактом Роснауки № 02.512.11.2007 от 19 февраля 2007 г.

## СПИСОК ЛИТЕРАТУРЫ

1. Banerjee R., Liu J., Beatty W., Pelosof L., Klemba M., Goldberg D.E. // Proc. Natl. Acad. Sci. USA. 2002. V. 99. P. 990–995.
2. Coombs G.H., Goldberg D.E., Klemba M., Berry C., Kay J., Mottram J.C. // Trends in Parasitology. 2001. V. 17. P. 532–537.
3. Goldberg D.E., Slater A.F., Cerami A., Henderson G.B. // Proc. Natl. Acad. Sci. USA. 1990. V. 87. P. 2931–2935.
4. Goldberg D.E., Slater A.F., Beavis R., Chait B., Cerami A., Henderson G.B. // J. Exp. Med. 1991. V. 173. P. 961–969.
5. Glusman I.Y., Francis S.E., Oksman A., Smith C.E., Duffin K.L., Goldberg D.E. // J. Clin. Invest. 1994. V. 93. P. 1602–1608.
6. Liu J., Istvan E.S., Goldberg D.E. // J. Biol. Chem. 2006. V. 281. P. 38682–38688.
7. Prade L., Jones A.F., Boss C., Richard-Bildstein S., Meyer S., Binkert C., Bur D. // J. Biol. Chem. 2005. V. 280. P. 23837–23843.
8. Francis S.E., Banerjee R., Goldberg D.E. // J. Biol. Chem. 1997. V. 27. P. 14961–14968.
9. Francis S.E., Glusman I.Y., Oksman A., Knickerbocker A., Mueller R., Bryant M.L., Sherman D.R., Russell D.G., Goldberg D.E. // EMBO J. 1994. V. 13. P. 306–317.
10. Hill J., Tyas L., Phylipl L.H., Kay J., Dunn B.M., Berry C. // FEBS Lett. 1994. V. 352. P. 155–158.
11. Tyas L., Gluzman I., Moon R.P., Rupp K., Westling J., Ridley R.G., Kay J., Goldberg D.E., Berry C. // FEBS Lett. 1999. V. 454. P. 210–214.

12. Silva A.M., Lee A.Y., Gulnik S.V., Maier P., Collins J., Bhat T.N., Collins P.J., Cachau R.E., Luker K.E., Glusman I.Y., Francis S.E., Oksman A., Goldberg D.E., Erickson J.W. // Proc. Natl. Acad. Sci. USA. 1996. V. 99. P. 990–995.
13. Westling J., Cipullo P., Hung S.H., Saft H., Dame J.B., Dunn B.M. // Protein Sci. 1999. V. 8. P. 2001–2009.
14. Tyas L., Moon R.P., Loetscher H., Dunn B.M., Kay J., Ridley R.G., Berry C. // Adv. Exp. Med. Biol. 1998. V. 436. P. 407–411.
15. Henderson P.J.F. // Biochem. J. 1972. V. 127. P. 321–333.
16. Baldwin E.T., Bhat T.N., Gulnik S., Hosur M.V., Sowder R.C., Cachau R.E., Collins J., Silva A.M., Erickson J.W. // Proc. Natl. Acad. Sci. USA. 1993. V. 90. P. 6796–6800.
17. Baldwin J.E., Killin S.J., Aldington R.M., Spiegel U. // Tetrahedron. 1988. V. 44. P. 2633.
18. Bodanszky M., Martinez J., Priestley G.P., Gardner J.D., Mutt V. // J. Med. Chem. 1978. V. 21. P. 1030–1035.
19. Mauren P. J., Miller M. J. // J. Org. Chem. 1981. V. 46. P. 2835.
20. Синтезы органических препаратов/Ред. Г. Гильман. Сб.1. М.: ИЛ, 1949. С. 546.
21. Grobelny D., Maslak P., Witek S. // Tetrahedron Lett. 1979. V. 20. P. 2639.
22. Gisin B.F. // Helv. Chem. Acta. 1973. V. 56. P. 1476–1482.

## Selective Inhibitors of Plasmepsin II from *Plasmodium falciparum* Based on Pepstatin

**L. D. Rumsh<sup>#</sup>, A. G. Mikhailova, I. V. Mikhura, I. A. Prudchenko, L. D. Chikin,  
I. I. Mikhaleva, E. N. Kaliberda, N. I. Dergousova, E. E. Mel'nikov, and A. A. Formanovskii**

*<sup>#</sup> Phone: +7 (495) 336-2811; e-mail: rumsh@enzyme.siobc.ras.ru*

*Shemyakin-Ovchinnikov Institute of Bioorganic Chemistry, Russian Academy of Sciences,  
ul. Miklukho-Maklaya 16/10, Moscow, 117997 Russia*

A number of new inhibitors of plasmepsin II (PlmII) from *Plasmodium falciparum*, one of the key factors of malarial parasite survival, were synthesized. The inhibitors are analogues of pepstatin with various variants of Ala residue substitutions. Effects of the inhibitors on human PlmII and cathepsin D were studied. Inhibition of PlmII by the substrate was found, which required the use of the modified Henderson method for the determination of inhibition constants. Two synthesized inhibitors were shown to exhibit a pronounced selectivity to PlmII ( $K_i = 5.5$  and  $5$  nM) in comparison with cathepsin D ( $K_i = 230$  and  $3000$  nM, respectively).

**Key words:** *inhibitors, malaria, plasmepsin II, Plasmodium falciparum, proteases*